

بهینه‌سازی فرآیند استخراج منیزیم از دولومیت کلسینه شده به روش

احیای سیلیکوترومیک تحت خلا

غلامرضا خیاطی^(۱)ابوالقاسم عطایی^(۲)سعید حشمتی منش^(۳)سعید شیبانی^(۴)

چکیده

در این تحقیق فلز منیزیم برای اولین بار در کشور به روش احیای سیلیکوترومیک تحت خلا از دولومیت تکلیس شده (دولومی) استخراج شده است. در این روش، مواد اولیه بعد از مخلوط شدن به صورت بربیکت تبدیل شده و سیلیسیم موجود در فروسیلیس باعث احیای دولومی می‌شود. محصول واکنش احیا، منیزیم فلزی است که به صورت فاز گازی در کنار انسور جمع آوری می‌گردد. به منظور بهینه‌سازی فرآیند تولید و مال سازی تأثیر پارامترهای عملیاتی مانند دما، زمان، دانسیته بربیکت‌ها و میزان فروسیلیس مورد استفاده در ساخت بربیکت‌ها بر راندمان احیا و راندمان سیلیسیم، از روش طراحی آزمایش‌ها استفاده شده است. داده‌های رودودی در این روش، مقادیر تجربی بدست آمده از فرآیندهای احیا متفاوت بوده که شرایط پارامترهای عملیاتی در آنها با استفاده از طراحی آزمایش‌ها مشخص شده است. به منظور بررسی صحت مدل استفاده شده، مقادیر محاسبه شده توسط مدل با نتایج عملی به دست آمده در احیا با پارامترهای عملیاتی متفاوت مقایسه و شرایط بهینه تولید منیزیم تعیین شده است.

طراحی آزمایش‌ها، احیای سیلیکوترومی، راندمان احیا، راندمان سیلیسیم.

Optimizing Vacuum Silicothermic Reduction of Calcined Dolomite

Gh. Khayyati

A. Ataie

S. Heshmati Manesh

S. Sheibani

Abstract

In production of magnesium by vacuum silicothermic reduction of calcined dolomite, Pidgeon process, experimental parameters such as temperature, time, density of briquettes and the ratio of stoichiometric requirement of silicon can be employed to control reduction efficiency and silicon efficiency. To model the effects of these parameters on reduction process, a basic statistical approach was utilized. Experimental data are inputs to the model. What about response of the model was compared with actual reduction data, in which temperature, time, density of briquettes and the ratio of stoichiometric requirement for reduction, were varied. A statistical "design of experiments" approach was undertaken in process experimentation and the optimum conditions of Pidgeon process were determined.

Key Words Experimental Design, Pidgeon Process, Reduction Efficiency, Silicon Efficiency.

* نسخه نخست مقاله در تاریخ ۲۶/۷/۳۱ و نسخه پایانی آن در تاریخ ۲۶/۷/۸۸ به دفتر نشریه رسیده است.

(۱) دانشجوی دکترا مهندسی مواد، دانشگاه شیراز

(۲) استاد، دانشکده مهندسی متالورژی و مواد، پردیس دانشکده‌های فنی، دانشگاه تهران

(۳) استاد، دانشکده مهندسی متالورژی و مواد، پردیس دانشکده‌های فنی، دانشگاه تهران

(۴) دانشجوی دکترا مهندسی مواد، پردیس دانشکده‌های فنی، دانشگاه تهران

منیزیم تولید شده به صورت فاز گازی بوده و در کندانسور جمع آوری می‌گردد. به منظور افزایش نرخ واکنش احیا از فلورید کلسیم در ساخت بریکت‌ها استفاده می‌شود. با توجه به اینکه هدف از این تحقیق، تعیین شرایط بهینه تولید منیزیم بوده است از این‌رو، لحاظ کردن مسائل اقتصادی از اهمیت ویژه‌ای برخوردار می‌باشد. در واحدهای تولیدی که به روش پیجن کار می‌کنند، هزینه‌های مصرفی مربوط به تأمین و خرداش فروسیلیس مورد نیاز برای احیای دولومیت بعد از هزینه‌های مرتبط با تولید ریتورت احیا، بیشترین مقدار را دارند. بر این اساس، افزون بر راندمان احیا که در حقیقت بیانگر میزان توانمندی فرآیند تولید در استخراج منیزیم از دولومیت می‌باشد، پارامتر دیگری تحت عنوان راندمان سیلیسیم نیز معرفی شده است که در حقیقت میزان شرکت سیلیسیم در فرآیند احیا را نشان می‌دهد. راندمان احیا و راندمان سیلیسیم به صورت زیر تعریف می‌شوند [5].

$$\frac{Mg_{\text{collected}}}{Mg_{\text{in briquettes}}} \times 100 = (\%) \text{ راندمان احیا} \quad (2)$$

که در آن $Mg_{\text{collected}}$ برابر حاصل ضرب خلوص در وزن منیزیم جمع شده در کندانسور $Mg_{\text{in briquettes}}$ برابر مقدار منیزیم موجود در بریکت‌های ورودی به مرحله احیا به صورت MgO است [6].

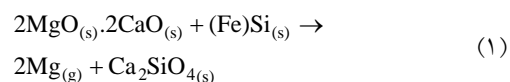
$$\frac{Mg_{\text{collected}}}{Mg_{\text{equiv.of Si present}}} \times 100 = (\%) \text{ راندمان سیلیسیم} \quad (3)$$

که $Mg_{\text{equiv.of Si present}}$ مقدار منیزیم معادل سیلیسیم موجود در بریکت‌های ورودی است که از رابطه (1) تعیین می‌شود.

در تولید منیزیم با فرآیند پیجن افزایش دمای عملیاتی باعث کاهش زمان احیا می‌شود. با بررسی فرآیند احیا مشخص می‌گردد که حداقل دمای عملیاتی تابعی از جنس ریتورت بوده و تنها گزینه ممکن در

مقدمه

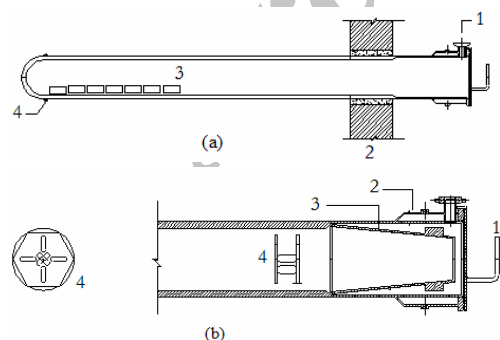
منیزیم از لحاظ فراوانی عناصر موجود در پوسته زمین در رتبه هشتم قرار دارد. منابع و مواد اولیه‌ای که منیزیم از آنها استخراج می‌شود شامل آب دریا، کارنالیت (Carnallite)، دولومیت (Dolomite)، سرپتین (Serpentine) و منیزیت (Magnesite) است. تولید صنعتی منیزیم به دو روش الکترولیز کلرید منیزیم تهیه شده از مواد اولیه و احیا سیلیکوترمی دولومیت تکلیس شده تحت خلاً فرآیند پیجن (Pidgeon Process) انجام می‌شود [1]. تقاضا برای مصرف منیزیم و آلیاژهای آن به خاطر داشتن مزایایی همچون چگالی کم، استحکام بالا، قابلیت شکل‌پذیری خوب و اینکه در مقایسه با مواد پلیمری دارای خواص مکانیکی بهتر، مقاومت به خستگی بالاتر، و هدایت الکتریکی و حرارتی بهتری هستند، در دهه اخیر به طور پیوسته افزایش یافته است. البته افزایش میزان تقاضا در صنایع خودروسازی و ساخت کالاهای الکتریکی از شدت بیشتری برخوردار بوده است [2]. همچنین طبق پیش‌بینی‌های صورت گرفته، به دلیل محدودیت‌های زیست محیطی اعمال شده به واحدهای تولید کننده منیزیم به روش الکترولیز، بیشترین منیزیم جهان در سال‌های آینده با این فرآیند تولید خواهد شد [3]. در فرآیند پیجن از دولومیت تکلیس شده (Doloma) به عنوان ماده حاوی منیزیم و از فروسیلیس به عنوان عامل احیا کننده استفاده می‌شود. مواد اولیه پس از خردایش با یکدیگر مخلوط شده و به صورت بریکت برای احیا به لوله‌ای از جنس فولاد دیرگذاز (ریتورت) متقل می‌شوند. ریتورت مجهز به کندانسور بوده و به گونه‌ای طراحی شده است که امکان ایجاد خلاً در آن وجود دارد. واکنش کلی احیا به صورت زیر بیان می‌شود [4]:



جدول ۱ ترکیب شیمیایی دولومی و فروسیلیس

| دولومی % | ترکیب شیمیایی | فروسیلیس % | ترکیب شیمیایی |
|-------------|--------------------------------|---------------|------------------|
| ۵۹/۰۰ | CaO | ۷۶/۷۰ | Si |
| ۳۵/۲۰ | MgO | ۲۰/۵۰ | Fe |
| ۰/۱۵ | S | ۱/۰۶ | Ca |
| ۰/۰۷ | Cl | ۰/۹۱ | Al |
| ۵/۴۷ | H ₂ O | ۰/۳۱ | S |
| ۰/۰۵ | Fe ₂ O ₃ | ۰/۲۵ | Ba |
| ۰/۰۳ | Al ₂ O ₃ | ۰/۱۰ | Ti |
| ۰/۰۲ | La&Lu | ۰/۰۹ | P |
| ۰/۰۱ | MnO | ۰/۰۸ | La&Lu |

این مواد پس از خردایش درون آسیاب گلوله‌ای با همدیگر مخلوط می‌شوند. در این مرحله فلورید کلسیم به میزان ۳/۵ درصد وزنی به عنوان کاتالیست به مواد اولیه اضافه می‌شود. از مخلوط پودری به دست آمده با استفاده از دستگاه پرس بریکت‌های استوانه‌ای با قطر تقریبی ۱ سانتی متر و ارتفاع ۲ سانتی متر ساخته شد، این بریکت‌ها وارد مرحله احیا می‌شوند. آزمایش‌های احیا در کوره تیوبی مجهر به ریتورت، کندانسور و پمپ خلاً انجام شده است. شکل (۱) شماتیک ریتورت ساخته شده برای انجام آزمایش‌های احیا را نشان می‌دهد.



شکل (۱) نمای کلی ریتورت مورد استفاده؛ ۱- خروجی متصل به پمپ خلا، ۲- جداره کوره تیوبی، ۳- محل قرار گرفتن بریکت‌ها، ۴- محل قرار گرفتن انتهای ریتورت درون کوره تیوبی.
(b) نمای ابتدای ریتورت با جزئیات؛ ۱- دسته، ۲- آبگرد، ۳- کندانسور، ۴- محافظ حرارتی.

این حالت تغییر جنس ریتورت است. انجام چنین تغییری مستلزم سرمایه‌گذاری قابل ملاحظه و استفاده از تجهیزات جدید است (به عنوان مثال استفاده از مواد جدید مانند سوپرآلیاژ برای ساخت ریتورت، تجهیزات مربوط به ریخته‌گری و جوشکاری و موارد مشابه). بنابراین تعیین حداکثر دمای عملیاتی قبل از هرگونه تغییر، بسیار مهم است. علاوه بر دما، افزایش زمان، دانسیته بریکت‌ها و نسبت استوکبومتری سیلیس مورد استفاده در ساخت بریکت‌ها نیز باعث افزایش راندمان تولید می‌شوند. نکته حائز اهمیت در این بین عدم مشخص بودن درجه تأثیرگذاری هر یک از این پارامترها بر فرآیند احیا است.

باید دانست که، علی‌رغم وجود معادن غنی دولومیت در ایران، منیزیم مورد نیاز در صنایع از خارج وارد می‌شود و تا کنون مطالعات سیستماتیکی در خصوص امکان تهیه منیزیم از دولومیت انجام نشده است. در این تحقیق از روش استفاده شده در طراحی آزمایش‌ها برای مدل‌سازی تأثیر پارامترهای عملیاتی و برهم‌کنش آن‌ها به عنوان متغیرهای مستقل بر کمیت‌های راندمان احیا و راندمان سیلیسیم به عنوان متغیرهای وابسته استفاده شده است. ورودی این مدل، داده‌های تجربی به دست آمده از فرآیند احیا تحت شرایط متفاوتی است که شرایط پارامترهای عملیاتی در آنها با استفاده از طراحی آزمایش‌ها مشخص شده است. به منظور تأیید اعتبار مدل استفاده شده که در حقیقت همان راندمان احیا و راندمان سیلیسیم هستند، مقادیر محاسبه شده توسط آن با نتایج تجربی مقایسه شده است.

روش آزمایش‌ها

مواد اولیه مورد استفاده در این تحقیق شامل دولومی (محصول شرکت نسوز آذر اصفهان) و فروسیلیس (محصول شرکت فروسیلیس ایران) است که ترکیب شیمیایی آنها در جدول (۱) ارائه شده است.

حد امکان در بردارنده کلیه شرایط ایجاد شده حین احیا باشد. این شرایط در بررسی های قبلی مورد ارزیابی قرار گرفته است [۷].

نتایج به دست آمده از طراحی آزمایش ها

نتایج به دست آمده براساس روش استفاده شده در طراحی آزمایش ها در جداول (۳، ۴ و ۵) نشان داده شده است. در جدول (۳) مقادیر متغیرهای مستقل برای هریک از آزمایش ها آورده شده است. دانسیته بریکت ها در این جدول به صورت میانگین دانسیته بریکت های ورودی به مرحله احیا ارائه شده است.

جدول ۳ مقدار متغیرهای مستقل در هریک از آزمایش ها

| متغیرهای مستقل | | | | شماره آزمایش ها |
|----------------|-----|-----|------|-----------------|
| A | B | C | D | |
| ۱۱۵۰ | ۱/۲ | ۶۰ | ۱/۶۱ | ۱ |
| ۱۱۵۰ | ۱/۲ | ۶۰ | ۱/۸۸ | ۲ |
| ۱۱۵۰ | ۱/۲ | ۱۲۰ | ۱/۶۲ | ۳ |
| ۱۱۵۰ | ۱/۲ | ۱۲۰ | ۱/۸۷ | ۴ |
| ۱۱۵۰ | ۱/۴ | ۶۰ | ۱/۶۱ | ۵ |
| ۱۱۵۰ | ۱/۴ | ۶۰ | ۱/۸۷ | ۶ |
| ۱۱۵۰ | ۱/۴ | ۱۲۰ | ۱/۶۰ | ۷ |
| ۱۱۵۰ | ۱/۴ | ۱۲۰ | ۱/۸۵ | ۸ |
| ۱۲۰۰ | ۱/۲ | ۶۰ | ۱/۶۵ | ۹ |
| ۱۲۰۰ | ۱/۲ | ۶۰ | ۱/۸۸ | ۱۰ |
| ۱۲۰۰ | ۱/۲ | ۱۲۰ | ۱/۶۱ | ۱۱ |
| ۱۲۰۰ | ۱/۲ | ۱۲۰ | ۱/۸۹ | ۱۲ |
| ۱۲۰۰ | ۱/۴ | ۶۰ | ۱/۶۳ | ۱۳ |
| ۱۲۰۰ | ۱/۴ | ۶۰ | ۱/۸۷ | ۱۴ |
| ۱۲۰۰ | ۱/۴ | ۱۲۰ | ۱/۶۶ | ۱۵ |
| ۱۲۰۰ | ۱/۴ | ۱۲۰ | ۱/۸۱ | ۱۶ |

مقدار میانگین متغیرهای وابسته شامل راندمان احیا و راندمان سیلیسیم برای هر یک از آزمایش ها محاسبه و در جدول (۴) آورده شده است. برای محاسبه این مقادیر از روابط (۲) و (۳) استفاده شده است.

حال عملیاتی و وزن بریکت های احیا شده در کلیه آزمایش ها ثابت و به ترتیب برابر با $۰/۱\text{mbar}$ و ۲۴۰gr (حداکثر ظرفیت ریتورت طراحی شده) بوده است [۷]. برای تعیین خلوص منزیم کنداش شده از آنالیز شیمی تراستفاده شده است. روش های متنوعی برای ارزیابی فرآیندهای مؤثر از چند عامل که در آنها مطالعه اثر توأم عوامل نیز حائز اهمیت است، وجود دارند که از جمله می توان به فاکتور کامل $2k$ اشاره نمود. در این روش، کافکتور ثبت شده، هر یک در دو سطح به صورت کاملاً تصادفی مقدار می گیرند و با توجه به کم بودن تعداد سطوح مورد بررسی، کمترین تعداد آزمایش مورد نیاز است. البته با توجه به اینکه هر عامل فقط در دو سطح مقدار می گیرد، باید تأثیر هر یک از این پارامترها در بازه مورد بررسی خطی فرض شود [۸]. در این تحلیل تأثیر ۴ متغیر مستقل (دما، زمان، نسبت استوکیومتری سیلیسیم و دانسیته بریکت ها) مورد بررسی قرار گرفته است. هر یک از این متغیرها در دو سطح بالا و پایین مقدار می گیرند. جدول (۲) این مقادیر را نشان می دهد. در تحلیل داده های تجربی از طراحی کامل پارامترها (Full Factorial Design) استفاده شده است [۹]. چنین تحلیلی اطلاعات به دست آمده از آزمایشات تجربی را افزایش داده و میزان تأثیر هریک از متغیرهای مستقل و برهم کنش آنها را به صورت کمی بیان می کند.

جدول ۲ متغیرهای مستقل مورد استفاده در طراحی آزمایش ها

| متغیرهای مستقل | علامت اختصاری | سطح پایین | سطح بالا |
|---------------------------------------|---------------|-----------|----------|
| (°C) دما | A | ۱۱۵۰ | ۱۲۰۰ |
| کسر استوکیومتری Si | B | ۱/۲ | ۱/۴ |
| زمان (دقیقه) | C | ۶۰ | ۱۲۰ |
| دانسیته بریکت ها (gr/cm^3) | D | ۱/۶ | ۱/۹ |

نحوه انتخاب متغیرهای مستقل به گونه ای است که تا

محاسبه شده برای هریک از متغیرهای مستقل و برهمکنش آنها در جدول (۵) نشان داده شده است.

جدول ۵ مقدار تفاضل مجموع برای هریک از متغیرهای مستقل و برهمکنش آنها

| متغیرهای وابسته و برهمکنش آنها | مقدار پارامتر تفاضل مجموع | |
|-----------------------------------|---------------------------|-------------------------|
| | راندمان احیا % | راندمان سیلیسیم % |
| A | ۸۷۰ | ۷۶۷ |
| B | ۱/۴۲ | -۷/۰۱ |
| C | ۳/۰۱ | ۲/۳۶ |
| D | ۳/۵۰ | ۲/۷۴ |
| AB | ۰ | -۰/۴۴ |
| AC | ۰/۰۱ | ۰ |
| AD | ۰ | ۰ |
| BC | ۰/۰۳ | -۰/۱۵ |
| BD | ۰ | -۰/۱۹ |
| CD | ۰ | ۰ |
| ABC | ۰/۰۲ | ۰ |
| ABD | ۰ | ۰/۰۱ |
| ACD | ۰ | ۰ |
| BDC | ۰/۰۱ | ۰/۰۲ |
| ABCD | ۰/۰۱ | ۰ |

بحث

نتایج به دست آمده نشان می‌دهد که دما مؤثرترین عامل بر راندمان احیا بوده و با افزایش آن راندمان احیا افزایش می‌یابد. با توجه به اینکه انتقال حرارت درون بریکت‌ها می‌تواند نرخ واکنش احیا را تحت تأثیر قرار دهد، افزایش دما باعث افزایش انتقال حرارت و بنابراین افزایش راندمان احیا می‌شود. افزون بر این، آنتالپی واکنش احیا (رابطه ۱) از رابطه زیر به دست می‌آید [3].

$$\Delta H = 115600 - 5.1T \quad (5)$$

آنالپی واکنش احیا در محدوده دمایی عملیاتی (۱۱۵۰-۱۲۰۰ درجه سانتی گراد) مثبت بوده و با

جدول ۴ میانگین متغیرهای وابسته برای هریک از آزمایش‌ها

| متغیرهای وابسته | شماره آزمایش‌ها | |
|-----------------|-----------------|-------------------|
| | راندمان احیا/% | راندمان سیلیسیم/% |
| ۷۰/۸۶ | ۵۹/۲۳ | ۱ |
| ۷۴/۳۶ | ۶۲/۱۶ | ۲ |
| ۷۳/۸۶ | ۶۱/۷۴ | ۳ |
| ۷۷/۳۶ | ۶۴/۶۶ | ۴ |
| ۷۲/۲۸ | ۵۲/۹۹ | ۵ |
| ۷۵/۷۸ | ۵۵/۵۴ | ۶ |
| ۷۵/۲۸ | ۵۵/۱۹ | ۷ |
| ۷۸/۷۸ | ۵۷/۷۶ | ۸ |
| ۷۹/۳۶ | ۶۶/۳۳ | ۹ |
| ۸۲/۸۶ | ۶۹/۲۶ | ۱۰ |
| ۸۲/۳۶ | ۶۸/۸۴ | ۱۱ |
| ۸۵/۸۶ | ۷۱/۷۷ | ۱۲ |
| ۸۰/۷۸ | ۵۹/۲۳ | ۱۳ |
| ۸۴/۲۸ | ۶۱/۸۰ | ۱۴ |
| ۸۳/۷۸ | ۶۱/۴۲ | ۱۵ |
| ۸۷/۲۸ | ۶۳/۹۹ | ۱۶ |

برای تعیین درجه تأثیرگذاری متغیرهای مستقل و برهمکنش آنها بر متغیرهای وابسته از پارامتر تفاضل مجموع استفاده شده است [10].

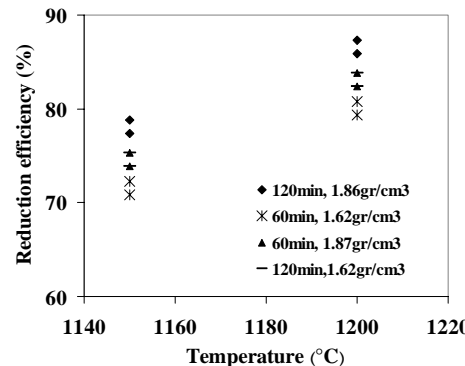
$$(Contrast-Sum) = \sum y_+ - \sum y_- \quad (4)$$

که در آن y مقدار متغیر وابسته برای حالتی است که متغیر مستقل مورد بررسی در سطح بالا (+) و پایین (-) مقدار می‌گیرد. قدر مطلق مقدار تفاضل مجموع بیانگر میزان تأثیرگذاری متغیرهای مستقل یا برهمکنش آنها بر متغیرهای وابسته بوده و علامت آن بیانگر نحوه تغییر متغیر وابسته با تغییر متغیر مستقل است. به منظور اجتناب از خطاهای محاسباتی از نرم افزار Matlab استفاده شده است. مقادیر تفاضل مجموع

نمی کند. متغیرهای دما، دانسیته و مدت زمان احیا به ترتیب در درجه بعدی اهمیت بر راندمان سیلیسیم قرار دارند. عنوان شده است که در زمان بینهایت راندمان سیلیسیم به صدر صد خواهد رسید [6].

تأثیر برهمنکش متغیرهای مستقل بر راندمان احیا در تمامی موارد برابر صفر است. این در حالی است که در مورد راندمان سیلیسیم برهمنکش برخی از متغیرهای مستقل مخالف صفر بوده و برهمنکش دما و زمان بر راندمان سیلیسیم بیشترین مقدار را دارد.

در شکل های (۲ و ۳) مقادیر میانگین راندمان احیا و راندمان سیلیسیم در هر یک از مراحل احیا به صورت تابعی از دما نشان داده شده است. این شکل ها به نحوی بیان کننده کلیه نتایج به دست آمده از مراحل احیا هستند.



شکل ۲ تغییرات راندمان احیا بر حسب دما در زمان و دانسیته ثابت

شکل (۲) نشان می دهد که راندمان احیا در دمای ثابت برای حالتی که چگالی بریکت ها در سطح بالا ($1/87\text{gr}/\text{cm}^3$) و زمان واکنش در سطح پایین (60 دقیقه) قرار دارد، تقریباً برابر حالتی است که زمان در سطح بالا (120 دقیقه) و چگالی در سطح پایین ($1/62\text{gr}/\text{cm}^3$) قرار دارد. بنابراین می توان با افزایش دانسیته در محدوده مورد بررسی، مدت زمان فرآیند را کاهش داد که در این حالت هزینه های مربوط به

افزایش دما تولید منیزیم افزایش می یابد. دانسیته بریکت ها دومین عامل مؤثر بر راندمان احیا بوده و با افزایش آن راندمان احیا افزایش می یابد. به عنوان مثال مقدار ضریب هدایت حرارتی مخلوط تشكیل دهنده بریکت (دولومی، فروسیلیس و فلورید کلسیم) برای نسبت استوکیومتری Si معادل $1/2$ و هوا در محدوده دمائی $1000-1200$ درجه سانتی گراد در جدول (۶) آورده شده است [3,11].

جدول ۶ مقدار ضریب هدایت حرارتی هوا و مخلوط تشكیل دهنده بریکت

| ترکیب شیمیایی | K (W.m ⁻¹ . ⁰ C) |
|--------------------------------|---|
| مخلوط تشكیل دهنده بریکت | $0/13-0/16$ |
| هوای موجود در تخلخل بسته بریکت | $0/0625-0/0759$ |

در مقادیر بالای دانسیته (حدود $1/9 \text{ gr}/\text{cm}^3$) به علت فشردگی بیشتر بریکت ها، حباب های هوای موجود در بریکت ها کاهش یافته و با توجه به اینکه هدایت حرارتی مخلوط تشكیل دهنده بریکت بیشتر از ضریب هدایت حرارتی حباب هایی هوا است، در این حالت انتقال حرارت افزایش یافته و راندمان احیا افزایش می یابد. البته باید توجه داشت که افزایش بیش از حد دانسیته نیز به علت مانع از خروج محصولات گازی واکنش احیا، منجر به کاهش راندمان احیا شده و در حقیقت دانسیته دارای یک مقدار بهینه است. زمان و نسبت استوکیومتری فروسیلیس به ترتیب در درجه بعدی اهمیت قرار دارند. نکته قابل توجه در این حالت تأثیر ناچیز افزایش کسر Si از $1/2$ به $1/4$ بر افزایش راندمان احیا است.

راندمان سیلیسیم در درجه اول متأثر از نسبت استوکیومتری فروسیلیس مورد استفاده در ساخت بریکت ها بوده و با افزایش این نسبت از $1/2$ به $1/4$ راندمان سیلیسیم به شدت کاهش می یابد. علت آن افزایش مقدار سیلیسیومی است که در احیا شرکت

پارامتر مستقل i و j است. در رابطه (۶) مقدار -1 - برای حالتی است که متغیرهای مستقل (A, B, C و D) و بر هم کنش مقدار آنها یعنی (AB, BC, BD) در سطح پایین مقدار گرفته اند و مقدار $+1$ برای حالتی است که هر یک از این متغیرها در سطح بالا قرار دارند. برای حالت هایی که متغیرهای مستقل و بر هم کنش آنها مقادیری بین سطح بالا و سطح پایین (بین -1 و $+1$) دارند، می بایست این مقادیر به مقدار واقعی (یا بر عکس) تبدیل شوند. محاسبات لازم برای این کار به وسیله نرم افزارهایی مانند DOE target، Edge و RS/Discover انجام می شود [۹].

براساس نتایج به دست آمده، روابط زیر برای محاسبه راندمان احیا (رابطه ۷) و راندمان سیلیسیم (رابطه ۸) ارائه شده است.

$$\begin{aligned} \text{Red}_{\text{efficiency}}(\%) &= 79.07 + 4.25(\pm 1)_A \\ &+ 0.71(\pm 1)_B + 1.51(\pm 1)_C + \\ &1.75(\pm 1)_D \end{aligned} \quad (7)$$

$$\begin{aligned} \text{Silicon}_{\text{efficiency}}(\%) &= 61.99 + 3.33(\pm 1)_A - 3.51(\pm 1)_B \\ &+ 1.18(\pm 1)_C + 1.37(\pm 1)_D - 0.22(\pm 1)_{AB} \\ &- 0.0075(\pm 1)_{BC} - 0.0095(\pm 1)_{BD} \end{aligned} \quad (8)$$

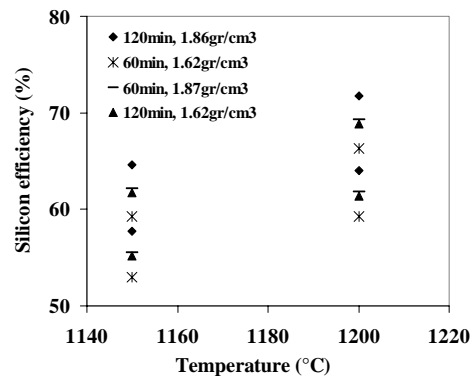
روش های متعددی برای قضاؤت در مورد معنی دار بودن میزان تاثیرگذاری هریک از عوامل و بر هم کنش آنها وجود دارند که از آن جمله می توان به مقایسه خطای معیار عوامل و مقادیر تفاضل مجموع اشاره نمود. اگر در فاکتور کامل $2^k \times n$ تکرار وجود داشته باشد و $y_{i1}, y_{i2}, \dots, y_{in}$ مشاهدات مربوط به i امین اجرا باشد، آنگاه مقدار میانگین مرربع خطای (MSError) از رابطه (۹) به دست می آید [۸].

$$\text{MS}_{\text{Error}} = \frac{1}{2^k(n-1)} \sum_{i=1}^{2^k} \sum_{j=1}^n (y_{ij} - \bar{y}_i)^2 \quad (9)$$

خطای معیار تأثیر عوامل را می توان از رابطه (۱۰) محاسبه نمود [۷].

$$\text{SE} = \sqrt{\frac{1}{n2^{(k-1)}} \text{MS}_{\text{Error}}} \quad (10)$$

طلانی بودن فرآیند نظیر اکسیداسیون ریتسورت به مقدار بسیار زیادی کاهش می باید.



شکل ۳ تغییرات راندمان سیلیسیم بر حسب دما در زمان و دانسیته ثابت

شکل (۳) ارتباطی مشابه بین دانسیته و مدت زمان احیا را برای راندمان سیلیسیم نشان می دهد؛ بدین معنی که در هر دمای کاری استفاده از بریکت هایی با دانسیته بیشتر باعث کاهش زمان عملیات می گردد.

بیان مدل استفاده شده بر مبنای نتایج به دست آمده از طراحی داده ها

بر اساس روش استفاده شده در طراحی آزمایش ها، ارتباط بین متغیرهای مستقل و وابسته را می توان با رابطه ای به صورت زیر بیان نمود [۹]:

$$\hat{y} = \bar{y} + \left(\frac{\Delta A}{2} \right) (\pm 1) + \left(\frac{\Delta B}{2} \right) (\pm 1) + \left(\frac{\Delta C}{2} \right) (\pm 1) + \left(\frac{\Delta D}{2} \right) (\pm 1) + \left(\frac{\Delta AB}{2} \right) (\pm 1) + \left(\frac{\Delta BC}{2} \right) (\pm 1) + \left(\frac{\Delta BD}{2} \right) (\pm 1) \quad (6)$$

که در آن \hat{y} مقدار پیش بینی شده توسط مدل برای پارامترهای وابسته راندمان سیلیسیم و راندمان احیا، Δ_i مقدار پارامتر تفاضل مجموع به دست آمده برای هر یک از متغیرهای وابسته و Δ_{ij} مقدار پارامتر تفاضل مجموع به دست آمده برای بر هم کنش دو

نتیجه‌گیری

با توجه به بررسی‌های صورت گرفته نتایج زیر به دست آمده‌اند:

۱- پارامترهای عملیاتی دما، دانسیته بربکت‌ها، مدت زمان واکنش احیا و نسبت استوکیومتری سیلیسیم استفاده شده در ساخت بربکت‌ها، به ترتیب، مؤثرترین عوامل بر راندمان احیا بوده و با افزایش کلیه این پارامترها در محدوده مورد آزمایش راندمان احیا افزایش می‌یابد.

۲- در مورد راندمان سیلیسیم، پارامترهای مؤثر به ترتیب شامل نسبت استوکیومتری استفاده شده در ساخت بربکت‌ها، دما، دانسیته بربکت‌ها و زمان بوده و در این میان مقدار راندمان سیلیسیم با نسبت استوکیومتری سیلیسیم رابطه عکس دارد و با افزایش سایر پارامترهای عملیاتی افزایش می‌یابد.

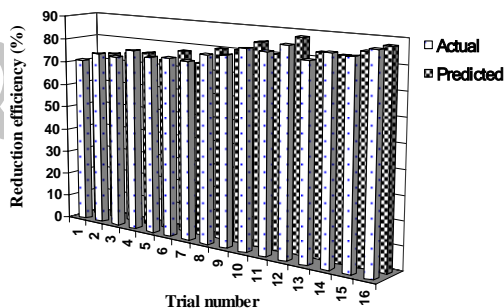
۳- تأثیر برهمنش متغیرهای مستقل بر راندمان احیا و راندمان سیلیسیم تقریباً ناچیز و یا، برابر با صفر بوده است.

۴- بر اساس آزمایش‌های انجام شده در مرحله مدل‌سازی و آزمایش‌های صورت گرفته به منظور بررسی صحت مدل‌های استفاده شده، شرایط بهینه احیا به صورت دمای ۱۱۷۵ درجه‌سانتی‌گراد، بربکت‌هایی با دانسیته ۱/۹ گرم بو سانتی‌متر مکعب حاوی ۱/۲ مقدار استوکیومتری فروسیلیس و ۳/۵ درصد وزنی فلورید کلسیم در خلا عملیاتی ۰/۱ میلی بار تعیین گردیده است. البته زمان بهینه زمانی است که راندمان احیا به بازه ۸۲ تا ۸۵ درصد رسیده باشد. این زمان تابع میزان شارژ ورودی بوده و باید برای هر فرآیند به طور مجزا تعیین گردد.

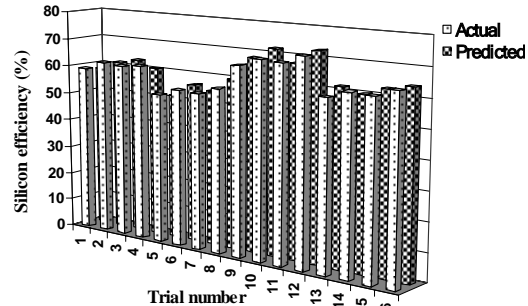
با توجه به بررسی‌های صورت گرفته در این تحقیق امکان تولید منیزیم از منابع داخل کشور فراهم گردیده است. تنها نکته قابل توجه این است که با

براساس محاسبات انجام گرفته، مقدار MS

Error برای راندمان احیا و راندمان سیلیسیم به ترتیب $0/536$ و $0/451$ محاسبه شده و مقدار SE مربوط به تأثیر عوامل بر راندمان احیا و راندمان سیلیسیم به ترتیب برابر با $0/21$ و $0/19$ به دست آمده است. بنابراین در برآورد مقادیر پارامتر تفاضل مجموع محاسبه شده برای راندمان احیا و راندمان سیلیسیم (جدول ۵)، به ترتیب دو حد خطای معیار برابر با $\pm 0/42$ و $\pm 0/38$ بوده و مقادیر محاسبه شده در بازه اطمینان تقریبی ۹۵ درصد قرار دارند. به منظور تأیید مدل استفاده شده، آزمایش‌های متفاوتی در مقادیر مختلف متغیرهای مستقل در بازه مورد بررسی انجام شده و نتایج به دست آمده با مقادیر محاسبه شده توسط مدل مقایسه شده است. شکل‌های (۴ و ۵) مقایسه بین این مقادیر را نشان می‌دهد.



شکل ۴ مقایسه راندمان احیا بین مقادیر به دست آمده از مدل و آزمایش



شکل ۵ مقایسه راندمان سیلیسیم بین مقادیر به دست آمده از مدل و آزمایش

بایستی در انتخاب زمان احیا دقت شود و به گونه‌ای باشد که راندمان احیا به بازه ۸۲ تا ۸۵ درصد برسد.

توجه به تغییر میزان شارژ ورودی در ریتورت مورد استفاده در مقیاس صنعتی (به دلیل ابعاد بزرگتر آن)،

مراجع

- Stanley R. W., Berube M., Celik C., Oosaka Y., Pearcy J., and Avedesian M., "The Magnolia Process for Magnesium Production", Proceedings of the International Magnesium Association 54: Magnesium Trends, Toronto Canada, pp. 58–65, (1997).
- Mordike BL., and Ebert T., "Magnesium Properties—Application—Potential", Mater Sci Eng A, 302, pp. 37–45, (2001).
- Alfred Yu., Henry Hu., and Naiyi Li., "Mathematical Modeling of Magnesium Reduction in a Novel Vertical Pidgeon Process", Modeling and Simulation in Materials Science and Engineering Mater. Sci. Eng. 10, pp. 413–423, (2002).
- Ramakrishnan S., and Koltun P., "Global Warming Impact of the Magnesium Produced in China using the Pidgeon Process", Resources, Conservation and Recycling, Vol 42, pp. 49–64, (2004).
- Morsi I. M. El., Barawy K. A., Morsi M. B., and Abdel-Gawad S. R., "Silicothermic Reduction of Dolomite Ore Under Inert Atmosphere", Canadian Metallurgical Quarterly, Vol. 41, No. 1, pp. 15-28, (2002).
- Emley E. F., "Principles of Magnesium Technology", 1st ed. Pergamon Press Ltd., Oxford, pp.27-44, (1966).
- غلامرضا خیاطی، ابوالقاسم عطائی، سعید حشمتی منش و سعید شیبانی، "ارزیابی آماری پارامترهای موثر بر خلوص منیزیم به روش احیای سیلیکوترومی تحت خلاء"، دهمین کنگره‌ی سالانه‌ی انجمن مهندسین متالورژی، (۱۳۸۶).
- مونت گمری، داگلاس سی؛ ترجمه غلامحسین شاهکار؛ "طراحی و تحلیل آزمایش‌ها"؛ مرکز نشر دانشگاهی تهران، صفحه ۳۳۶-۳۴۰، چاپ اول، (۱۳۸۰).
- Schmit S. R., and Launsby R. G., "Understanding Industrial Designed Experiments", Fourth Edition, Colorado Springs, pp. 4.22-4.42, (1999).
- Frank F., Kraft, and Chad, Powers., "Optimizing Extrusion through Effective Experimentation and Analysis", Aluminum Association and the Aluminum Extruders Council, pp. 43-49, (2002).
- Gaskell D. R., "An Introduction to Transport Phenomena in Materials Engineering", New York: macmillan, pp. 615, (1992).